

Поступила в редколегію 25.06.09

УДК 666.762.11:666.762.8

Л.А. АНГОЛЕНКО, канд. техн. наук,
Г.Д. СЕМЧЕНКО, докт. техн. наук, **С.В. ТИЩЕНКО, Е.Е. СТАРОЛАТ,**
М.А. КУЩЕНКО, НТУ «ХПІ»,
В.В. НОВШУК, «Укрспецогнеупор», г. Запорожье

ТЕРМОДИНАМИЧЕСКИЕ РАСЧЕТЫ РЕАКЦИЙ С УЧАСТИЕМ ГАЗОВОЙ ФАЗЫ В СИСТЕМЕ AI – AI₂O₃ – C

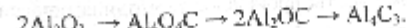
Термодинамичні розрахунки реакцій в системах Al – Al₂O₃ – C – CO та Al – Al₂O₃ – C – CO₂ підтвердили можливість утворення гіперспінелю шпінелі (Al₂O₃), оксикарбіду (Al₂O₃ та Al₂OC) і карбіду алюмінію (Al₂C) при температурі 1723 K, що може бути використано в технології корундографітових вогнетривів для захисту графіту від окиснення при синтезі зазначенних фаз на його поверхні.

Thermodynamic calculations for reactions in systems Al – Al₂O₃ – C – CO and Al – Al₂O₃ – C – CO₂ have confirmed possibility of synthesis of alumina spinel (Al₂O₃), oxycarbides Al₂O₃ and aluminum carbide (Al₂C) at temperature 1723 K, that might be used in corundum-graphite refractories' technology for graphite protection from oxidation through synthesis of the described phases on its surface.

В настоящее время система Al – O – C представляет большой практический интерес в связи с возможностью образования в ней карбида и оксикарбидов алюминия, которые являются перспективными компонентами конструкционной керамики, абразивов и шлакоустойчивых огнеупоров [1 – 5].

Взаимодействие оксида алюминия с углеродом начинается выше 1800 K [6 – 9] и, согласно [10, 11] сопровождается замещением двух атомов

кислорода атомом углерода, последовательность фазовых превращений при этом следующая:



Позднее было установлено, что между Al₂O₃ и Al₂OC присутствует фаза с кубической гранецентрированной структурой нормальной шпинели Al₃O₁[12].

Химический анализ показал следующий состав соединения: после термообработки при 1870 K – AlO·1,26Al₂O₃, при 1970 K – AlO·1,21Al₂O₃, при 2020 K – AlO·1,06Al₂O₃.

Было установлено, что оно представляет собой оксинитрид алюминия AlN·Al₂O₃ со структурой шпинели [13, 14], а также уточнения принятой формулы Al_(0,5+x,y)O_{4-x}N_y (0,22 < x < 0,50) (так называемый γ-AlON)[15].

Согласно [16 – 20], в системе Al – O – C в конденсированном состоянии присутствуют фазы Al₂O₃, Al, C, Al₄C₃, Al₂OC и Al₄O₂C.

По данным [21], в газовой фазе возможно присутствие паров Al, AlO, Al₂O, Al₂O₂, CO, CO₂. При температурах 1000 – 2500 K газовая фаза над глиноземом в основном состоит из паров алюминия и атомарного кислорода.

В псевдобинарной системе Al₂O₃ – Al₂C оксикарбиды алюминия Al₂O₂C и Al₂OC главятся инконгруэнтно при температурах около 2150 K и 2300 K соответственно [22].

В работе [23] указывается, что стабильно существует только тетраоксикарбид Al₂O₂C, монооксикарбид Al₂OC термодинамически нестабилен, но может быть стабилизирован путем образования твердого раствора с изоструктурными соединениями (AlN, SiC и др.).

При взаимодействии Al₂O₃ и углерода при высоких температурах образуются газообразные низшие оксиды алюминия.

Субоксиды алюминия адсорбируются на поверхности углерода и вступают с ним в химические реакции, разрушая связи Al – O и образуя комплексы C_xO_y, которые затем превращаются в адсорбированный CO, а последний десорбируется.

При разрушении связей Al – O возникают новые связи Al – C, что приводит к образованию Al₄C₃. Образование оксикарбидов алюминия является результатом последующих взаимодействий карбida алюминия с атомарным кислородом и субоксидами алюминия [6, 7, 24].

Синтез соединений в системе Al – Al₂O₃ – C, где возможно образование различных соединений Al с углеродом при участии газовой фазы представляется также интерес.

Авторами данной работы проведены термодинамические расчеты в системе Al – Al₂O₃ – C реакций образования глиноземистой шпинели Al₂O₃, оксикарбидов Al₄O₃C, Al₂OC и карбида алюминия Al₄C₃ с участием газовой фазы, в качестве компонентов которой принимали CO и CO₂.

Расчет энергии Гиббса осуществляли при постоянной температуре 1723 К и варьировании парциального давления P_{CO/CO₂}.

Исходные термодинамические величины, согласно [25 – 30], приведены в табл. 1.

Таблица 1

Термические константы исследуемых веществ

Формула вещества	$\Delta H_{298,15}$, кДж/моль	$\Delta S_{298,15}$, Дж/моль·град	$C_p^{298,15}$, кДж/моль·град
CO _(g) [9]	-110,530	197,548	29,141
CO _{2(g)} [9]	-393,510	213,674	—
Al _(s) [7]	0	28,33	24,354
Al ₂ O _{3(s)} [7]	206,900	88,950	116,779
α -Al ₂ O _{3(s)} [7]	-1675,700	50,92	79,023
Al ₂ O ₄ [10]	2145,042	59,5	—
Al ₄ O ₄ C _(s) [10, 13]	-2249,826	186,2	—
Al ₄ O ₄ C _(s) [10, 13]	-665,515	26,9	—

Были проведены расчеты изменения термодинамического потенциала для 33 гетерогенных реакций, протекающих в системе Al – CO, которые представлены в табл. 2 и 3, а также 31 реакции в системе Al – CO₂, представленных в табл. 4 и 5.

Зависимость $\Delta G_{f,T}$ от ln P_{CO} для реакций при температуре 1723 К в системе Al – CO приведена на рис. 1 и 2, а зависимость $\Delta G_{f,T}$ от ln P_{CO₂} для реакций в системе Al – CO₂ – на рис. 4 и 5.

Графики зависимости $\Delta G_{f,T}$ от ln P_{CO/CO₂} для реакций в системах Al – Al₂O₃ – CO и Al – Al₂O₃ – CO₂ представлены, соответственно на рис. 3 и рис. 6.

Анализ зависимости $\Delta G_{f,T} = f(\ln P_{CO/CO_2})$ позволяет сделать вывод о том, что при температуре 1723 К при парциальном давлении

P_{CO/CO₂} = 10⁻¹⁰ – 1 ат теоретически возможен синтез глиноземистой шпинели Al₂O₃, оксикарбидов Al₄O₃C и Al₂OC, карбида алюминия Al₄C₃. Однако необходимо учитывать, что данные реакции не учитывают участия в синтезе других газообразных соединений.

Из графиков 1 – 6 видно, что протекание реакций (1) – (28) при температуре 1723 К в системе Al – CO при низком парциальном давлении P_{CO} невозможno, однако при значениях парциального давления P_{CO} = 10⁻³ – 1 ат термодинамически возможно протекание всех указанных реакций.

Таблица 2

Реакции в системе Al – CO

№	Реакция	$\Delta G^{\circ}_{f,T}$, кДж/моль
1	2Al + 3CO \rightarrow Al ₂ O ₃ + 3C	-1344,11 + 0,581204·T
2	3Al + 4CO \rightarrow Al ₂ O ₄ + 4C	-1702,922 + 0,792782·T
3	6Al + 3CO \rightarrow Al ₂ C ₃ + Al ₂ O ₃	-1551,01 + 0,622874·T
4	4Al + 4CO \rightarrow Al ₄ O ₄ C + 3C	-1807,706 + 0,700172·T
5	2Al + CO \rightarrow Al ₂ OC	-554,985 + 0,227348·T
6	6Al + 5CO \rightarrow Al ₂ O ₄ C + Al ₂ OC + 3C	-2362,691 + 0,94474·T
7	7Al + 8CO \rightarrow Al ₂ O ₃ + Al ₂ O ₄ C + 7C	-3510,628 + 1,492954·T
8	5Al + 5CO \rightarrow Al ₂ O ₄ + Al ₂ OC + 4C	-2257,907 + 1,02013·T
9	9Al + 9CO \rightarrow Al ₂ O ₄ + Al ₂ O ₄ C + Al ₂ OC + 7C	-4065,613 + 1,720302·T
10	7Al + 4CO \rightarrow Al ₂ O ₃ + Al ₂ C ₃ + C	-1909,872 + 0,834452·T
11	8Al + 4CO \rightarrow Al ₂ C ₃ + Al ₂ O ₄ C	-2014,606 + 0,745845·T
12	8Al + 4CO \rightarrow Al ₂ O ₃ + Al ₂ C ₃ + Al ₂ OC	-2105,995 + 0,850222·T
13	9Al + 5CO \rightarrow Al ₂ O ₃ + Al ₂ C ₃ + Al ₂ OC + C	-2461,807 + 1,0618·T
14	13Al + 7CO \rightarrow Al ₂ O ₃ + Al ₂ O ₄ + 2Al ₂ C ₃ + C	-3460,832 + 1,457326·T
15	14Al + 7CO \rightarrow Al ₂ O ₃ + 2Al ₂ C ₃ + Al ₂ O ₄ C	-3565,616 + 1,364716·T
16	15Al + 8CO \rightarrow Al ₂ O ₃ + Al ₂ O ₄ + 2Al ₂ C ₃ + Al ₂ OC + C	-4015,817 + 1,684674·T
17	15Al + 8CO \rightarrow Al ₂ O ₃ + 2Al ₂ C ₃ + Al ₂ O ₄ C + C	-3924,428 + 1,576294·T
18	22Al + 11CO \rightarrow 2Al ₂ O ₃ + 3Al ₂ C ₃ + Al ₂ O ₄ C + Al ₂ OC	-5671,611 + 2,214938·T
19	24Al + 13CO \rightarrow 2Al ₂ O ₃ + 3Al ₂ C ₃ + Al ₂ O ₄ C + Al ₂ OC + 2C	-6389,235 + 2,638094·T
20	23Al + 22CO \rightarrow Al ₂ O ₃ + Al ₂ O ₄ + 3Al ₂ C ₃ + Al ₂ O ₄ C + Al ₂ OC + C	-6030,423 + 2,426516·T
21	5Al + 7CO \rightarrow Al ₂ O ₃ + Al ₂ O ₄ + 7C	-5047,032 + 1,373986·T
22	6Al + 7CO \rightarrow Al ₂ O ₃ + Al ₂ O ₄ C + 6C	-3151,816 + 1,281376·T
23	4Al + 4CO \rightarrow Al ₂ O ₃ + Al ₂ OC + 3C	-1899,095 + 0,808552·T
24	11Al + 14CO \rightarrow 2Al ₂ O ₃ + Al ₂ O ₄ + Al ₂ O ₄ C + 13C	-6198,848 + 2,655362·T
25	9Al + 11CO \rightarrow 2Al ₂ O ₃ + Al ₂ O ₄ + Al ₂ OC + 10C	-4946,127 + 2,182538·T
26	10Al + 11CO \rightarrow 2Al ₂ O ₃ + Al ₂ O ₄ C + Al ₂ OC + 9C	-5050,911 + 2,089928·T
27	15Al + 18CO \rightarrow 3Al ₂ O ₃ + Al ₂ O ₄ + Al ₂ O ₄ C + Al ₂ OC + 16C	8097,943 + 3,465914·T

Таблица 3

Реакции в системе Al – Al₂O₃ – CO

N _o	Реакция	$\Delta G^{\circ}_{\text{т}}, \text{ кДж/моль}$
28	$\text{Al} + \text{Al}_2\text{O}_3 - \text{CO} \rightarrow \text{Al}_3\text{O}_4 + \text{C}$	-358,812 + 0,211578·T
29	$2\text{Al} + \text{Al}_2\text{O}_3 + \text{CO} \rightarrow \text{Al}_3\text{O}_4\text{C}$	-463,596 + 0,278268·T
30	$4\text{Al} + \text{Al}_2\text{O}_3 + 2\text{CO} \rightarrow \text{Al}_3\text{O}_4\text{C} + \text{Al}_2\text{OC}$	-1018,581 + 0,346316·T
31	$3\text{Al} + 2\text{Al}_2\text{O}_3 + 2\text{CO} \rightarrow \text{Al}_3\text{O}_4 + \text{Al}_3\text{O}_4\text{C} + \text{C}$	-822,408 + 0,330546·T
32	$3\text{Al} + \text{Al}_2\text{O}_3 + 2\text{CO} \rightarrow \text{Al}_3\text{O}_4 + \text{Al}_2\text{OC} + \text{C}$	-913,797 + 0,438926·T
33	$5\text{Al} + 2\text{Al}_2\text{O}_3 + 3\text{CO} \rightarrow \text{Al}_3\text{O}_4 + \text{Al}_3\text{O}_4\text{C} + \text{Al}_2\text{OC} + \text{C}$	-1377,393 + 0,557891·T

Таблица 4

Реакции в системе Al – CO₂

N _o	Реакция	$\Delta G^{\circ}_{\text{т}}, \text{ кДж/моль}$
1	$4\text{Al} + 3\text{CO}_2 \rightarrow 2\text{Al}_2\text{O}_3 + 3\text{C}$	-2170,87 - 0,635362·T
2	$3\text{Al} + 2\text{CO}_2 \rightarrow \text{Al}_3\text{O}_4 + 2\text{C}$	-1358,022 + 0,441418·T
3	$8\text{Al} + 3\text{CO}_2 \rightarrow \text{Al}_4\text{C}_3 + 2\text{Al}_2\text{O}_3$	-2377,77 - 0,677032·T
4	$4\text{Al} + 2\text{CO}_2 \rightarrow \text{Al}_3\text{O}_4\text{C} + \text{C}$	-1462,806 + 0,348808·T
5	$8\text{Al} + 3\text{CO}_2 \rightarrow \text{Al}_4\text{O}_4\text{C} + 2\text{Al}_2\text{OC}$	-2400,326 - 0,627822·T
6	$7\text{Al} + 4\text{CO}_2 \rightarrow \text{Al}_3\text{O}_4 + \text{Al}_3\text{O}_4\text{C} + 3\text{C}$	-2820,828 + 0,790226·T
7	$7\text{Al} + 3\text{CO}_2 \rightarrow \text{Al}_3\text{O}_4 + 2\text{Al}_2\text{OC} + \text{C}$	-2295,542 + 0,720432·T
8	$15\text{Al} + 6\text{CO}_2 \rightarrow \text{Al}_3\text{O}_4 + \text{Al}_3\text{O}_4\text{C} + 4\text{Al}_2\text{OC} + \text{C}$	-4693,858 + 1,348254·T
9	$10\text{Al} + 4\text{CO}_2 \rightarrow 2\text{Al}_2\text{O}_3 + \text{Al}_4\text{C}_3 + \text{C}$	-2922,944 + 0,924506·T
10	$16\text{Al} + 6\text{CO}_2 \rightarrow \text{Al}_4\text{C}_3 + 3\text{Al}_2\text{O}_3\text{C}$	-4595,318 + 1,088094·T
11	$12\text{Al} + 5\text{CO}_2 \rightarrow 3\text{Al}_2\text{O}_3 + \text{Al}_4\text{C}_3 + \text{Al}_2\text{OC} + \text{C}$	-3931,985 + 1,13422·T
12	$14\text{Al} + 4\text{CO}_2 \rightarrow 2\text{Al}_3\text{O}_4 + \text{Al}_4\text{C}_3 + 2\text{Al}_2\text{OC}$	-3860,454 + 1,20352·T
13	$18\text{Al} + 7\text{CO}_2 \rightarrow 2\text{Al}_2\text{O}_3 + 2\text{Al}_3\text{O}_4 + 2\text{Al}_4\text{C}_3 + \text{C}$	-5300,714 + 1,601538·T
14	$24\text{Al} + 9\text{CO}_2 \rightarrow 2\text{Al}_2\text{O}_3 + 2\text{Al}_3\text{O}_4 + 3\text{Al}_4\text{C}_3$	-6973,088 + 1,765126·T
15	$26\text{Al} + 10\text{CO}_2 \rightarrow 3\text{Al}_2\text{O}_3 + 2\text{Al}_3\text{O}_4 + 2\text{Al}_4\text{C}_3 + 3\text{Al}_2\text{OC} + \text{C}$	-7792,429 + 2,33774·T
16	$26\text{Al} + 10\text{CO}_2 \rightarrow 2\text{Al}_3\text{O}_4 + 2\text{Al}_4\text{C}_3 + 3\text{Al}_2\text{OC} + \text{C}$	-7518,252 + 2,0126·T
17	$28\text{Al} + 11\text{CO}_2 \rightarrow 3\text{Al}_2\text{O}_3 + 2\text{Al}_4\text{C}_3 + 3\text{Al}_4\text{O}_4\text{C} + \text{Al}_2\text{OC} + \text{C}$	-8527,283 + 2,222314·T
18	$30\text{Al} + 11\text{CO}_2 \rightarrow 2\text{Al}_3\text{O}_4 + 2\text{Al}_4\text{C}_3 + 3\text{Al}_4\text{O}_4\text{C} + 2\text{Al}_2\text{OC}$	-8455,782 + 2,291614·T
19	$58\text{Al} + 22\text{CO}_2 \rightarrow 3\text{Al}_2\text{O}_3 + 2\text{Al}_4\text{O}_4\text{C} + \text{Al}_4\text{C}_3 + 6\text{Al}_2\text{OC} + 3\text{Al}_4\text{OC} + \text{C}$	-16983,065 + 4,513928·T
20	$7\text{Al} + 5\text{CO}_2 \rightarrow 2\text{Al}_2\text{O}_3 + \text{Al}_3\text{O}_4 + 5\text{C}$	-3528,892 + 1,07678·T
21	$8\text{Al} + 5\text{CO}_2 \rightarrow 2\text{Al}_2\text{O}_3 + \text{Al}_3\text{O}_4 + 4\text{C}$	3633,676 + 0,984117·T
22	$4\text{Al} + 2\text{CO}_2 \rightarrow \text{Al}_3\text{O}_4 + \text{Al}_2\text{OC} + \text{C}$	-1554,195 + 0,457188·T
23	$15\text{Al} + 10\text{CO}_2 \rightarrow 4\text{Al}_2\text{O}_3 + \text{Al}_3\text{O}_4 + \text{Al}_3\text{O}_4\text{C} + 9\text{C}$	-7162,568 + 2,06095·T
24	$11\text{Al} + 7\text{CO}_2 \rightarrow 3\text{Al}_2\text{O}_3 + \text{Al}_3\text{O}_4 + \text{Al}_2\text{OC} + 6\text{C}$	-9081,087 + 1,533968·T
25	$12\text{Al} + 7\text{CO}_2 \rightarrow 3\text{Al}_2\text{O}_3 + \text{Al}_3\text{O}_4\text{C} + \text{Al}_2\text{OC} + 5\text{C}$	-5187,871 + 1,441358·T
26	$26\text{Al} + 17\text{CO}_2 \rightarrow 7\text{Al}_2\text{O}_3 + 2\text{Al}_3\text{O}_4 + \text{Al}_2\text{OC} + \text{Al}_4\text{OC} + 15\text{C}$	-12245,655 + 3,594918·T

Анализ зависимостей реакций, протекающих в системе Al – CO₂, показывает, что вероятность протекания реакций (1* – 21*), (23* – 26*) увеличива-

ется с повышением парциального давления диоксида углерода и термодинамически возможно при температуре 1723 К в диапазоне парциальных давлений Р_{CO} = 10⁻¹⁰ – 1 ат.

Протекание реакции (22*) возможно только при Р_{CO₂} = 1 ат. В системе Al – Al₂O₃ – CO₂ невозможно протекание реакций (28*), (29*), реакции (30*) – (33*) осуществляются при значениях Р_{CO} = 0,1 – 1 ат.

В системе Al – Al₂O₃ – CO₂ возможно протекание реакций (27*) – (31*) при парциальном давлении Р_{CO₂} = 10⁻¹ – 1 ат.

Таблица 5

N _o	Реакция	$\Delta G^{\circ}_{\text{т}}, \text{ кДж/моль}$
27	$2\text{Al} + 2\text{Al}_2\text{O}_3 + \text{CO}_2 \rightarrow 2\text{Al}_3\text{O}_4 + \text{C}$	-545,174 + 0,247474·T
28	$6\text{Al} + 2\text{Al}_2\text{O}_3 + 3\text{CO}_2 \rightarrow 3\text{Al}_4\text{O}_4\text{C}$	-2217,548 + 0,354362·T
29	$10\text{Al} + 4\text{Al}_2\text{O}_3 + 4\text{CO}_2 \rightarrow 2\text{Al}_3\text{O}_4 + 3\text{Al}_4\text{O}_4\text{C} + \text{C}$	-141,347 + 0,263244·T
30	$3\text{Al} + \text{Al}_2\text{O}_3 + \text{CO}_2 \rightarrow \text{Al}_3\text{O}_4 + \text{Al}_2\text{OC}$	-3504,069 + 0,92178·T
31	$13\text{Al} + 5\text{Al}_2\text{O}_3 + 5\text{CO}_2 \rightarrow 3\text{Al}_3\text{O}_4 + 3\text{Al}_4\text{O}_4\text{C} + \text{Al}_2\text{OC} + \text{C}$	-3504,069 + 0,92178·T

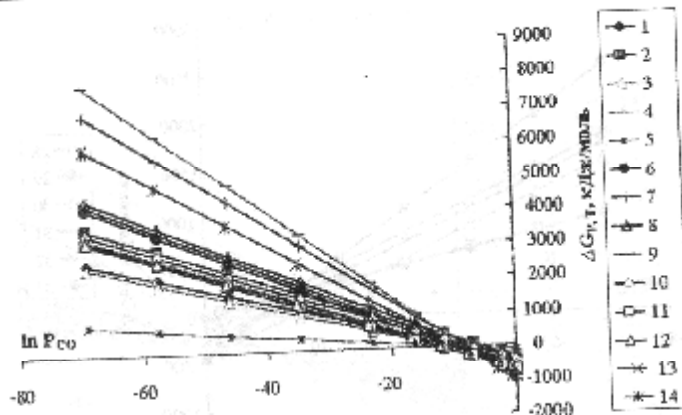


Рис. 1. Зависимость энергии Гиббса $\Delta G^{\circ}_{\text{т}}$ реакций (1 – 14) от парциального давления Р_{CO₂}

Таким образом, термодинамический анализ реакций, протекающих в системе Al – Al₂O₃ – CO – CO₂, позволяет сделать вывод о том, что в восстановительной среде возможен синтез фаз Al₃O₄, Al₃C₃, Al₄O₄C, Al₂OC.

исследование зависимости стандартной энергии Гиббса от парциального давления углекислого газа.

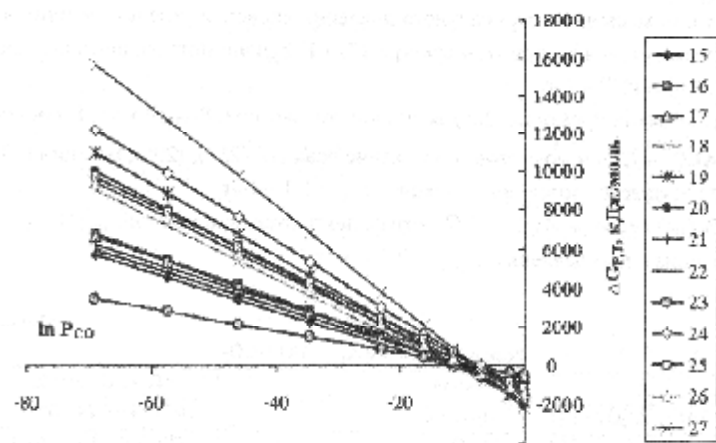


Рис. 2. Зависимость энергии Гиббса $\Delta G_{P,T}$ реакций (15 – 27) от парциального давления P_{CO}

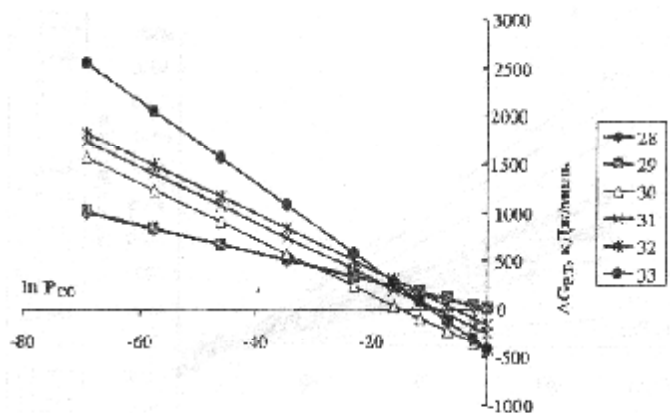


Рис. 3. Зависимость энергии Гиббса $\Delta G_{P,T}$ реакций (28 – 33) от парциального давления P_{CO}

Знак стандартный изобарный потенциал реакции или стандартную свободную энергию реакции [31] при условии, что все парциальные давления всех участников реакции в исходной неравновесной смеси равны единице

($P_i = 1$), рассчитывали константу равновесия реакции для всех приведенных выше реакций, которая приведена в табл. 6 и табл. 7.

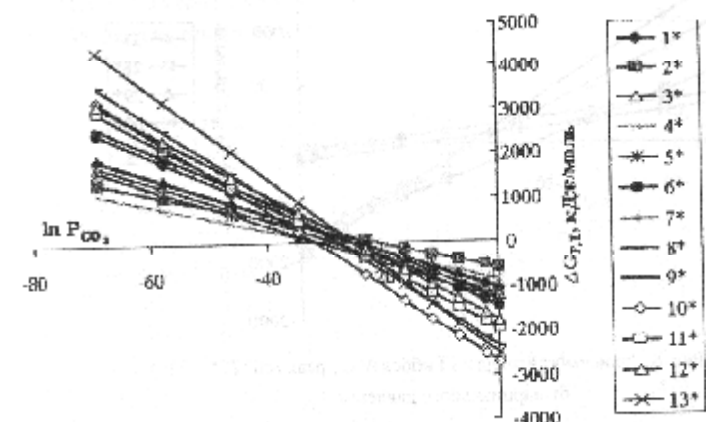


Рис. 4. Зависимости энергии Гиббса $\Delta G_{P,T}$ реакций (1* – 13*) от парциального давления P_{CO_2}

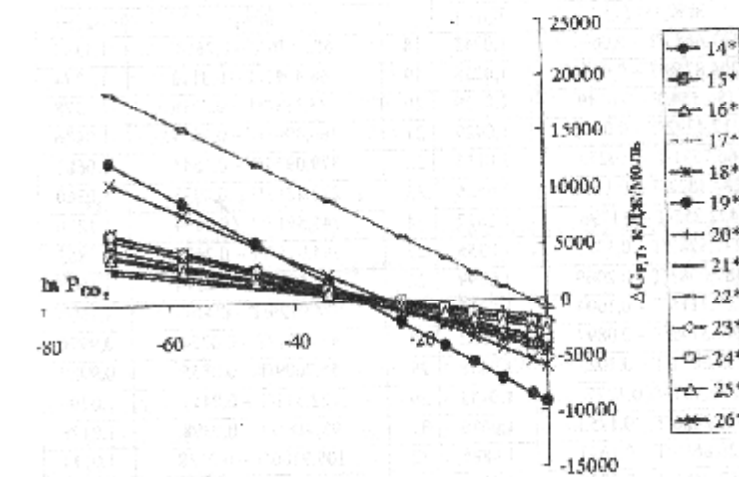


Рис. 5. Зависимость энергии Гиббса $\Delta G_{P,T}$ реакций (14* – 26*) от парциального давления P_{CO_2}

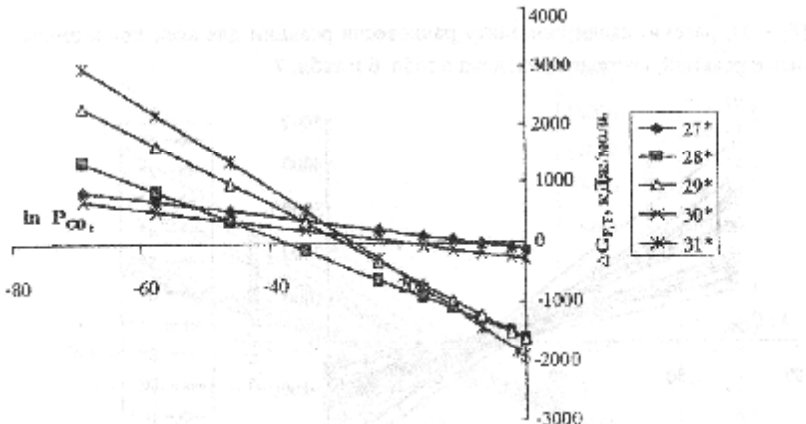


Рис. 6. Зависимость энергии Гиббса ΔG_f реакций (27* – 31*) от парциального давления P_{CO_2}

Увеличение константы равновесия реакции свидетельствует о смещении направления реакции в сторону образования продуктов.

Наиболее вероятными, согласно значениям K_p , в системе $Al - Al_2O_3 - C - CO_2$ являются реакции (18)–(20), (24), (26), (27).

Таблица 7

Константы равновесия реакций в системе $Al - Al_2O_3 - C - CO_2$

№	Константа скорости реакции		№	Константа скорости реакции		№	Константа скорости реакции	
	$\ln K_p = f(T)$	$K_{p,1723}$		$\ln K_p$	$K_{p,1723}$		$\ln K_p = f(T)$	$K_{p,1723}$
1	$161,6683/T - 0,0699$	1,0242	18	$682,176/T - 0,2664$	1,1383	17	$1025,6335/T - 0,2673$	1,3882
2	$204,8258/T - 0,0954$	1,0238	19	$768,4911/T - 0,3173$	1,1374	18	$1017,0534/T - 0,2756$	1,3698
3	$186,554/T - 0,0749$	1,0339	20	$725,5335/T - 0,2919$	1,1378	19	$2042,7069/T - 0,5429$	1,9015
4	$217,4292/T - 0,0842$	1,0429	21	$566,4941/T - 0,1653$	1,0486	20	$424,4518/T - 0,1295$	1,1239
5	$66,7531/T - 0,0273$	1,0115	22	$379,0974/T - 0,1541$	1,0681	21	$437,0551/T - 0,1184$	1,1449
6	$284,1822/T - 0,1136$	1,0526	23	$228,4213/T - 0,0973$	1,0360	22	$186,9371/T - 0,055$	1,0550
7	$422,255/T - 0,1796$	1,0677	24	$745,5915/T - 0,3194$	1,1200	23	$861,5069/T - 0,2479$	1,2867
8	$271,5789/T - 0,1227$	1,0355	25	$594,9154/T - 0,2625$	1,0863	24	$611,2889/T - 0,1845$	1,1857
9	$489,0081/T - 0,2069$	1,0799	26	$607,5188/T - 0,2514$	1,1065	25	$623,9922/T - 0,1734$	1,2078
10	$239,7116/T - 0,1004$	1,0335	27	$974,0129/T - 0,4166$	1,1603	26	$1472,8957/T - 0,4324$	1,5257
11	$242,5149/T - 0,0897$	1,0522	28	$43,1576/T - 0,0254$	0,9996	27	$65,573/T - 0,0298$	1,0083
12	$253,3071/T - 0,1023$	1,0458	29	$55,7609/T - 0,0335$	0,9989	28	$266,7246/T - 0,0426$	1,1187
13	$296,4646/T - 0,1277$	1,0153	30	$122,514/T - 0,0417$	1,0299	29	$332,2976/T - 0,0792$	1,1204
14	$416,2656/T - 0,1753$	1,0686	31	$98,9185/T - 0,0398$	1,0178	30	$89,1685/T - 0,0317$	1,0203
15	$428,8689/T - 0,1641$	1,0885	32	$139,9106/T - 0,0528$	1,0111	31	$429,757/T - 0,1109$	1,1431
16	$483,0186/T - 0,2026$	1,0608	33	$165,6715/T - 0,0671$	1,0295	32		
17	$472,0265/T - 0,1896$	1,0880				33	$904,2894/T - 0,2421$	1,3268

Аналогично, для системы $Al - Al_2O_3 - C - CO_2$, увеличение константы равновесия реакции свидетельствует о смещении направления реакции в сторону образования продуктов, то есть Al_2O_3 , Al_2C_3 , Al_4O_4C , Al_2OC . Наиболее вероятными, согласно значениям K_p , являются реакции (14*) – (19*), (23*), (26*).

Таким образом, согласно проведенным термодинамическим расчетам, в системах $Al_2O_3 - C - CO$ и $Al_2O_3 - C - CO_2$ при температуре 1723

К возможен синтез фаз глиноземистой шиннели Al_2O_3 , карбида алюминия Al_2C_3 , оксикарбидов алюминия Al_4O_4C и Al_2OC .

Список литературы: 1. Рыбков Ю.И. Мозаичный карбид алюминия – основа конструкционной керамики и композитов. Тез. докл. Всерос. научно-практ. конф. [Керамические материалы, производство и применение] / Ю.И. Рыбков. – М. – 2000. – С. 75. 2. Huang J.L. Sintering behavior and

ионов золя, аморфность продуктов термообработки геля способствуют повышению плотности покрытий и прочности углеррафитовых материалов. Золь-гель процесс позволяет осуществить лиффузию ультрадисперсных частиц кремнезема в поверхностные слои пористого углеррафитового материала еще в процессе твердения золь-гель композиций при низких температурах.

Кремнезем геля пропитывающей композиции находится в аморфном состоянии на воздухе до 1000 °С, в присутствии углерода до более высоких температур [1].

Целью данной работы является исследование влияния технологических параметров пропитки и обжига при низких температурах пропитанных углеррафитовых изделий на уплотнение этих материалов.

Исходные графитовые образцы имели открытую пористость 24 – 27 %. Пропитка в золь-гель композициях из гидролизованного этилсиликата и его смесей с другими компонентами приводит к повышению качества бескислородной керамики.

Были проведены исследования по подбору пропиточных золь-гель композиций и влиянию технологических факторов на повышение стойкости к окислению изделий из графита.

Установлено, что заметный привес массы графитовых образцов наблюдается только после нескольких часов пропитки. Причем, более эффективным оказалось использование нерастворимых золь-гель пропиточных композиций. Это объясняется тем, что при избытке воды в гидролизатах при поликонденсации образуются пространственные структуры кремнийполимеров, которые, вероятно, не могут проникнуть глубоко в микродефекты графитовых образцов.

Золь-гель композиции, состоящие из гидролизата со стехиометрическим количеством воды для гидролиза (катализатор HNO_3), при поликонденсации образуют цепочки из полисилоксановых связей $\equiv \text{Si} - \text{O} - \text{Si} =$ [2], что дает возможность таким золь-гель пропиточным растворам глубже проникать в дефекты структуры графитовой матрицы.

Установлено, что максимальный привес образцов, пропитанных в этих растворах, составляет 6 % после выдержки в пропиточном растворе оптимального состава в течение 3 часов минимально.

Изменение массы графитовых образцов одного и того же состава размером 30×30×10 мм после пропитки в золь-гель композициях разного состава показаны на рис. 1.

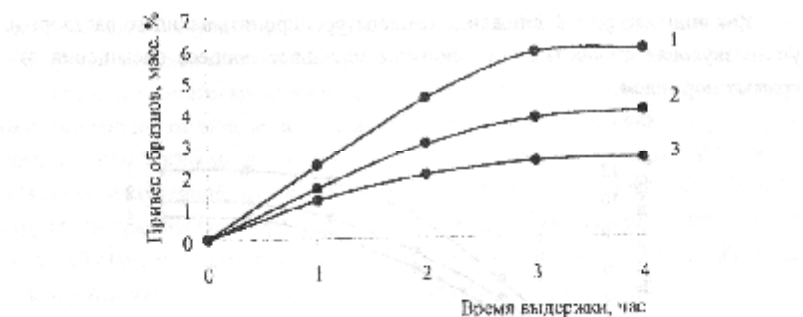


Рис. 1. Зависимость привеса образцов от состава пропитывающей композиции и времени выдержки в ней:
1 – ЭТС-32/80; 2 – ЭТС-32/80 : $\text{H}_2\text{O} = 2 : 1$; 3 – ЭТС-32/60.
Количество катализатора HNO_3 – 0,1 %.

С целью замедления процессов поликонденсации пропиточные золь-гель композиции охлаждали до температуры 4 – 5 °С.

При использовании предварительно охлажденных пропиточных растворов золь-гель композиций процесс насыщения поровой структуры этим раствором идет более интенсивно (рис. 2).

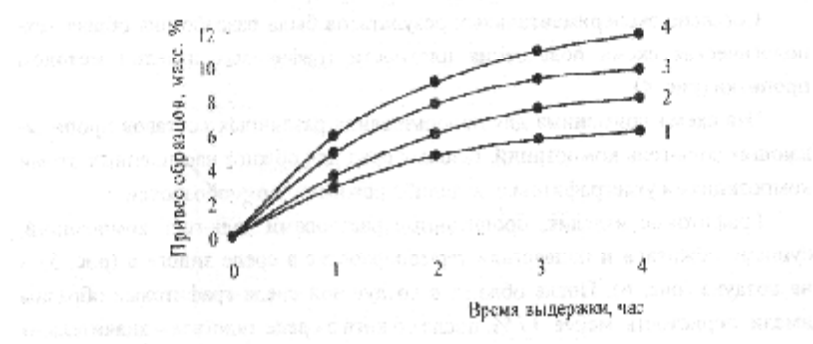


Рис. 2. Зависимость привеса образцов от времени выдержки в золь-гель композиции при различных температурах растворов золь-гель композиции, °С:
1 – 20 ± 2; 2 – 15 ± 1; 3 – 10 ± 1; 4 – 5 ± 1.

Установлено, что он зависит от режима пропитки и технологических приемов (например, ультразвуковой обработки или вибрации).

Как видно из рис. 3, снижение температуры пропитывающего раствора и ультразвуковая обработка при пропитке улучшает процесс насыщения открытых пор гелем.

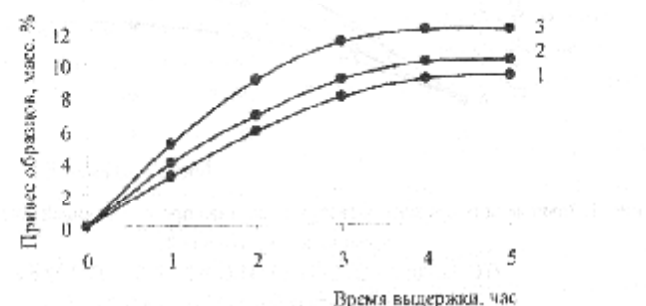


Рис. 3. Зависимость пропитки образцов от наличия или отсутствия ультразвуковой обработки (или вибрации) при пропитке раствором золь-гель композиции ЭТС 32/80 при температуре 10 °C:

- 1 – отсутствие вибрации и ультразвуковой обработки;
- 2 – вибрация сосуда с образцами в растворе через каждый час;
- 3 – ультразвуковая обработка через каждый час

Согласно экспериментальных результатов была разработана общая технологическая схема повышения плотности графитовых изделий методом пропитки (рис. 4).

Эта схема применима для использования различных составов пропитывающих золь-гель композиций, газовых сред для обжига насыщенных этими композициями углеграфитовых изделий, режимов термообработки.

Графитовые изделия, пропитанные растворами золь-гель композиций, сушили, обжигали и подвергали термообработке в среде эндогаза (рис. 5) и на воздухе (рис. 6). После обжига в воздушной среде графитовые образцы имели пористость менее 17 %, после обжига в среде эндогаза значительно ниже – 6 – 10 %.

После термообработки пропитанные золь-гель композициями графитовые изделия исследовались петрографически.

Петрографические исследования показали, что упрочненный графитовый материал после обработки пропитывающими золь-гель композициями и обожженный в разных средах имеет зональное строение. Выделяется наимен-

ее измененная и уплотненная зоны. На поверхности графитового изделия образуется плотная пленка. Следовательно, в результате пропитки по всей поверхности графитовых изделий образуется более плотный слой, предохраняющий графит от окисления. Толщина такого слоя после обжига в среде эндогаза составляет около 1,1 мм, после обжига на воздухе всего 0,1 мм. В наименее измененной внутренней зоне этих изделий сохраняются дефекты структуры графитовых изделий в виде пор неправильной формы размером от 10 до 40 мкм, что может способствовать ускорению окисления графитовых изделий в службе. В уплотненной зоне поры отсутствуют полностью.

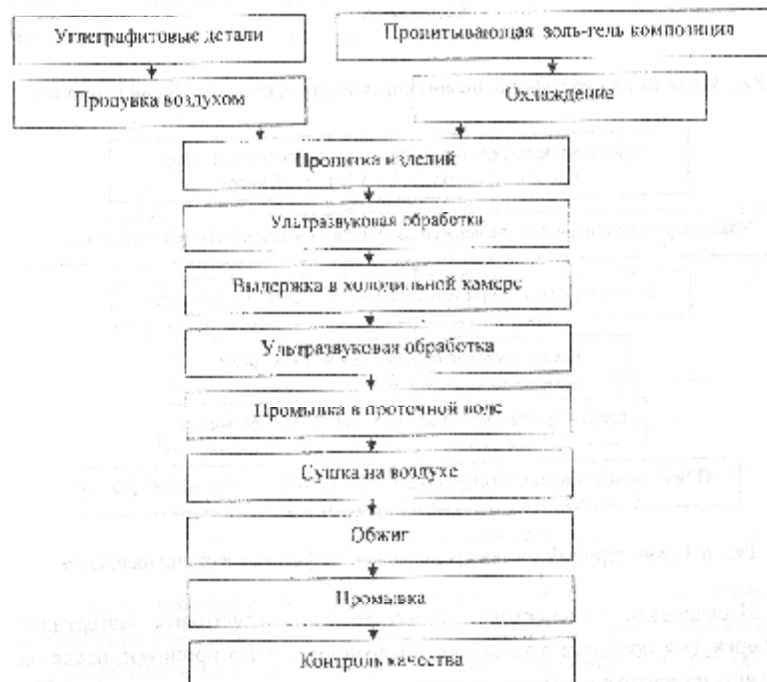


Рис. 4. Общая технологическая схема повышения плотности графитовых изделий

Пространство между агрегатами пластинчатых графитовых кристаллов заполнено стеклом с показателем $N_g = 1,480$. В поверхностном слое графитовых пропитанных золь-гель композициями изделий, которые были обожжены

в эндогазе или сначала выдержаны в аммиачной воде, а потом обожжены на воздухе, по данным РФА наблюдается оксинитрид кремния и β -SiC, что повышает стойкость графитовых изделий к абразивному износу и окислению.

Пропитка золь-гель композициями графитовых изделий при 4 – 10 °С 5 – 6 часов

Сушка при 40 – 65 °С

Обжиг в эндогазе при 1050 – 1150 °С 2 – 3 часа

Охлаждение

Рис. 5. Режим термообработки пропитанных углеродграфитовых изделий в эндогазе

Пропитка золь-гель композициями графитовых изделий при температуре (-1 + 3 °С) 5 – 8 часов

Ультразвуковая обработка, выдержка изделий в аммиачной среде 5 : 12 минут

Сушка на воздухе при температуре 18 – 25 °С 1 > 1,5 суток

Ультразвуковая обработка в водной среде

Сушка при температуре 140 + 160 °С 45 – 60 минут

Обжиг на воздухе при температуре 1230 : 1270 °С в течение 20 + 30

Рис. 6. Режим термообработки пропитанных графитовых изделий на воздухе

Исследовали прочностные характеристики графитовых материалов, подвергнутых пропитке в золь-гель композициях, и без пропитки, после нагревания на воздухе и в среде эндогаза.

Предел прочности при сжатии графитовых образцов после пропитки и термообработки на воздухе составили 50 – 60 МПа, после обжига в эндогазе – предел прочности при изгибе – 110 – 140 МПа [3, 4].

На рис. 7 представлены результаты изменения прочностных характеристик графитовых образцов после пропитки при термообработке на воздухе.

Прочности непропитанных образцов до 600 °С не изменяется, а при нагревании до 1000 °С незначительно уменьшается, так как они окисляются.

У графитовых образцов, пропитанных золь-гель композициями, при термообработке на воздухе прочностные характеристики при увеличении температуры нагревания до 800 °С увеличиваются на 20 МПа, а при дальнейшем нагревании прочность практически не изменяется.

Увеличение прочностных характеристик графитового материала, порошковая структура которого покрыта гелем, можно объяснить тем, что при поликонденсации продуктов гелеобразования образуются полисилоксановые связи, а при нагревании – плотная пленка из оксинитрида кремния, армированного паноразмерным β -SiC.

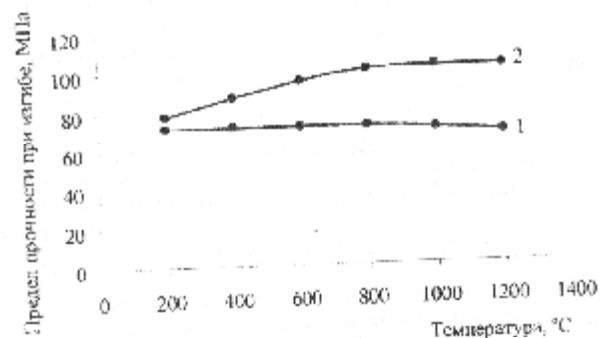


Рис. 7. Зависимость прочностных характеристик графитовых материалов без предварительной пропитки (1) и с пропиткой (2) от температуры термообработки на воздухе

В результате проведенных исследований установлены технологические особенности уплотнения углеродграфитовых материалов в среде воздуха и эндогаза после пропитки их золь-гель композициями. В рамках решения проблемы защиты углерода от окисления разработаны технологические схемы повышения плотности углеродграфитовых изделий, включая режимы их термообработки.

Список литературы: 1. Соловьев И.К. Твердение и свойства покрытий, приготовленных по методу золь-гель: науч. конф. [Зашита металлов от коррозии негравитационными покрытиями]. (Кандидат. науч. конф.) / И.К. Соловьев, Г.Ю. Шушарин, Г.Д. Соломенки. – КХТИ – Екатер., 1986 г., 20 – 22 мая 1986 г. / Г.Ю. Шушарин, Г.Д. Соломенки. – КХТИ – Екатер., 1986 г.

- С. 29 – 36. 2. Семченко Г.Д. Золь-тель процесс в керамической технологии / Семченко Г.Д. – Харьков. – 1997. – 144с. Пашенко А.А. Разработка и испытание гидрофобных покрытий для ситалла : науч.-техн. конф. [Жаростойкие неорганические материалы]. (Обнинск, 20-22 октября 1977 г.) : [А.А. Пашенко, В.Н. Лиханов, О.Г. Осмаков и др.] – ОНТИ. – Обнинск, 1977. – С. 347 – 351. З. З. Пат. № 81497 Украина, МПК⁶ C04B 41/00, C01B 31/04, C01B 31/00 Способ захисту графіту від окислення / Г.Д. Семченко, І.Ю. Шутєєва, Л.В. Руденко. № 200512178, заявка 19.12.2005, опубл. 25.06.2007, Бюл. № 9. 4. Patent № 81494 Україна, МПК⁶ C04B 35/52, C04B 41/87. Способ захисту графітових виробів від окислення / Г.Д. Семченко, І.Ю. Шутєєва, Л.В. Руденко, О.Є. Старолят. – № 200511955, заявка 13.12.2005; опубл. 25.06.2007, Бюл. № 9.

Поступила в редколлегию 21.05.09

Содержание

1. Н.Ф. КОСЕНКО, М.А. СМИРНОВА, А.С. БЕЛЯКОВ	3
МЕХАНОХИМИЧЕСКАЯ АКТИВАЦИЯ ПРИРОДНОГО ГИПСА	
2. В.Ф. БОЙКО, Т.Б. ЕРНОВА, Н.М. ВЛАСОВА, А.В. ЗАЙЦЕВ, Н.Д. ПИНЕГИНА	7
КИНЕТИКА СЕДИМЕНТАЦИИ УЛЬТРА-ЦАПОРАЗМЕРНОГО ОПОРОШКА ОКСИДА	
АЛЮМИНИЯ	
3. О.А. ЛІТВІНЕНКО, О.І. НЕКОЗ, В.П. КАВУН	18
КАВІТАЦІЙНА СТИКІСТЬ КЕРАМОІЧИХ МАТЕРІАЛІВ	
4. Е.В. ШТЕФАН	23
МАТЕМАТИЧЕСКОЕ МОДЕЛИРОВАНИЕ ПРОЦЕССОВ МЕХАНИЧЕСКОЙ	
ОБРАБОТКИ ДИСПЕРСНЫХ МАТЕРИАЛОВ	
5. Ю.І. БОЙКО, Ю.Г. СУХЕНКО	28
ІНТЕНСИФІКАЦІЯ ПОДРІБНЕННЯ В МІЛЛІ МЛІНАХ	
6. Н.Д. ПІНЧУК	32
ІССЛЕДОВАНИЕ ПРОЦЕССОВ УЦІЛЮНЕННЯ ПРИ ПРЕССОВАНІЙ	
ГІДРОКСІАЛІТА. СТЕКЛОБЕЗРАЗУЮЧЕЙ СМЕСІ И СМЕСІ ІЗ ІХ ОСНОВЕ	
ДЛЯ ПОЛУЧЕННЯ БІОКОМПОЗИТОВ	
7. Р.В. ЗАКУСИЛО, Е.А. ПАЩЕНКО	37
ПОЛУЧЕНІ ВИСОКОДИСПЕРСНОГО КРИСТАЛІЧНОГО ОКТОГІЦА ДЛЯ	
ДЕТОНІРУЮЧИХ ПОЛІНОВОДІВ	
8. Г.Н. КРАПИВКО	42
ПОЛУЧЕННЯ ПОРОШКОВ СІО ₂ ВИСОКОЇ СТЕПЕНІ ЧИСТОТЫ,	
ЕЛЕКТРОННО-ЛУЧЕВОЇ ОБРАБОТКОЙ ОСХОДОВ РИСОВОГО ПРОІЗВОДСТВА	
9. Н.П. ФЕСЕНКО, Н.А. БОРИМСКИЙ, Т.Н. СМИРНОВА, Д.А. СТРАТИЙЧУК,	48
В.И. ЧАСНИК, Т.Б. СЕРБЕНЮК	
ОСОБЕННОСТИ ВИСОКОКОНЦЕНТРИВНОГО РАЗМОЛА КАРБІДА КРЕМНІЯ	
10. А.П. ЧЕРНЕНКО	53
ОСОБЕННОСТИ МЕЖФАЗНОГО ВЗАИМОДЕЙСТВІЯ МЕТИЛМЕТАКРИЛАТ С	
ПОРОШКАМИ СИНТЕТИЧНОГО АЛІМАЗА І МОНТМОРИЛОНІТА	
11. Н.М. АНТРАПЦЕВА, Н.В. ТКАЧЕВА, А.А. КНОГВАНТ	59
ТЕРМИЧЕСКОЕ ПОВЪДІНІЕ ДИФОСФАТОВ ТВЕРДОГО РАСТВОРА	
Co _{2-x} Mg _x F ₆ O ₆ H ₂ O	
12. Б.В. ВІНОГРАДОВ, І.А. ОСТАНІКО	64
ОБІНЕРГЕТИЧЕСКИХ ХАРАКТЕРИСТИКАХ ЦЕНТРОВІДЖНИХ МЕЛЬНИЦ С	
S-ОБРАЗНИМ РАБОЧИМ ОРГАНОМ	
13. А.О. ТРЕТЬЯКОВ, В.Ф. ГАНКЕВІЧ, Т.В. МАСЛОВА	70
ПОЛІМЕРНІ КОМПОЗИТИ АРМОВАНІ БАЗАЛЬТОВИМИ ВОЛОКНАМИ	
14. П.И. ПІЛОВ, Я.Ж. ГОРБЕЦ, В.Н. БОВЕНКО, Н.С. ПРЯДКО, Н.В. ВЕРХОРОВИНА	74
О ПОВЫШЕНИИ ЭФФЕКТИВНОСТИ ПРОЦЕССА СТРУЙНОГО ИЗМЕЛЬЧЕНИЯ С	
ИСПОЛЬЗОВАНИЕМ АКУСТИЧЕСКОГО МОНИТОРИНГА	
15. Н.К. МЛАДЕЦЬКИЙ, Ю.С. МОСТЬКА	82
АНАЛІТИЧЕСКОЕ ОПРЕДЕЛЕННІЕ ОВОГАТИМОСТІ ВКРАПЛЕННОЇ РУДИ ПРИ ЇЇ	
ОБОІ АШЕНИИ	
16. В.В. ПІСЧАНСЬКА, Г.О. СОЛОВІЙОВА, Ю.А. ОНАСЕНКО	88
ПРОБЛЕМІ УДАЛЕННІЯ ВОГНІТРИВІХ БЕТОНІВ	